

5 октября 1977 г.

ПОЯВЛЕНИЕ КОМБИНАЦИОННЫХ ЧАСТОТ
В ОСЦИЛЛАЦИЯХ ШУБНИКОВА – де ГААЗА
И ПОВЕРХНОСТНОГО ИМПЕДАНСА
У ЛЕГИРОВАННЫХ ТЕЛЛУРОМ Ви И СПЛАВОВ $\text{Bi}_{1-x}\text{Sb}_x$

B.B.Мощалков, Г.А.Миронова

У Ви и сплавов $\text{Bi}_{1-x}\text{Sb}_x$ легированных Тс, обнаружено появление в осцилляциях Шубникова – де Гааза и поверхностного импеданса сильных (с амплитудой порядка амплитуды основных гармоник) комбинационных частот, которые не наблюдаются в осцилляциях де Гааза – ван Альфена в тех же сплавах при аналогичных условиях.

1. Изменение плотности состояний $n(\epsilon)$ на уровне Ферми ϵ_F в магнитном поле H приводит к тому, что компоненты тензора проводимости

$\hat{\sigma}_{\alpha\beta}$, кроме монотонного хода σ_0 содержат осциллирующие добавки $\Delta\sigma_1$ и $\Delta\sigma_2$

$$\hat{\sigma}_{\alpha\beta} = (\hat{\sigma}_0)_{\alpha\beta} + (\Delta\hat{\sigma}_1)_{\alpha\beta} + (\Delta\hat{\sigma}_2)_{\alpha\beta}. \quad (1)$$

Квантовая поправка $\Delta\sigma_1$ предстазляет вклад в провэдимость от рассеяния с переходами между различными уровнями Ландау ($N + 1/2$) $\pi\omega$ ($\Delta N \neq 0$), а $\Delta\sigma_2$ описывает вклад от рассеяния в пределах ближайшего к ϵ_F уровня Ландау ($\Delta N = 0$). В [1] было показано, что амплитуды $\Delta\sigma_1$ и $\Delta\sigma_2$ следующим образом зависят от монотонной ($n_0(\epsilon)$) и осциллирующей ($n_1(\epsilon)$) части плотности состояний и времени релаксации τ :

$$\Delta\sigma_1 \sim n_0(\epsilon)n_1(\epsilon)\tau^{1/2}; \quad \Delta\sigma_2 \sim [n_1(\epsilon)]^2\tau. \quad (2)$$

Для больших квантовых чисел ($N >> 1$) $\Delta\sigma_1 >> \Delta\sigma_2$ и линейно выражается через осцилляции магнитного момента M при произвольной форме поверхности Ферми ($\Pi\Phi$) и произвольном характере рассеяния [2]: $\Delta\sigma_1 \sim \partial M / \partial H$. В этом случае осцилляции магнетосопротивления $\partial\rho / \partial H$ и поверхностного импеданса $\partial Z / \partial H$ можно описать через осцилляции ΔM [3, 4]:

$$\Delta\rho \sim \rho_0 \sum_{r=1}^{\infty} a_r \sin\left(\frac{2\pi\epsilon_F}{\hbar\omega_c} - \frac{\pi}{4}\right). \quad (3)$$

Здесь a_r — амплитуда r -й гармоники. Для не слишком низких температур в (3) можно ограничиться членом $r = 1$.

При налиии нескольких экстремальных сечений (или нескольких изоэнергетических поверхностей) осцилляции $\Delta\rho(H)$ ($\Delta Z(H)$, $\Delta M(H)$) представляют собой суперпозицию пропорциональных соответствующим экстремальным сечениям частот ω_i и их гармоник $n\omega_i$, вклад которых в осцилляции обычно мал ($\sim 5\%$).

2. В настоящей работе приведены результаты исследования осцилляций ШдГ, дГвА и поверхностного импеданса у легированных теллуром ($\sim 0,01$ ат%) Bi и сплавов $Bi_{1-x}Sb_x$ при температуре жидкого гелия.

На рис. 1 показаны зависимости $\partial\rho / \partial H$, $\partial Z / \partial H$ и $\partial M / \partial H$ от обратного магнитного поля $1/H$ для сплава Bi — Te при ориентации поля вдоль биссекторной оси, соответствующей двум экстремальным сечениям S_1 и S_2 . Видно, что кривые $\partial\rho / \partial H$ и $\partial Z / \partial H$ качественно отличаются от осцилляций $\partial M / \partial H$ (это отличие наблюдается только у легированных образцов, у Bi все зависимости имеют одинаковый характер). На кривой спектральной плотности $I(\omega)$ осцилляций $\partial M / \partial H$ у Bi + Te (рис. 2, кривая 3) отчетливо видны два пика, соответствующие сечениям S_1 и S_2 электронной части $\Pi\Phi$. Гармонический состав осцилляций $\partial\rho / \partial H$ и $\partial Z / \partial H$ значительно сложнее (рис. 2, кривые 1 и 2). Кроме основных частот ω_1 и ω_2 , отчетливо наблюдаются не соответствующие экстремальным сечениям S_1 и S_2 пики ω_i , хорошо описываемые формулой $\omega_i = n\omega_1 + m\omega_2$ (n, m — целые). В таблице даны резуль-

таты фурье-анализа осцилляций $\partial\rho/\partial H$ у Bi - Te при специально выбранной ориентации поля, позволяющей различать комбинации частот от гармоник,

Наблюдаемые частоты ω_i (отн. ед.) ¹	Стат. весь 1 (ω) (отн. ед.) ¹	Комбинация частот $n\omega_1 + m\omega_2$
11	1,00	$\omega_1 = 11$ (сечение S_1)
22	0,62	$2\omega_1 = 22$
27	0,92	$\omega_2 = 27$ (сечение S_2)
32	0,25	$3\omega_1 = 33$
38	0,46	$\omega_1 + \omega_2 = 38$
49	0,25	$2\omega_1 + \omega_2 = 49$
60	0,30	$3\omega_1 + \omega_2 = 60$
72	0,14	$4\omega_1 + \omega_2 = 71$

Характерной особенностью приведенных результатов наряду с появлением комбинационных частот, является резкое (по сравнению с нелегированным Bi) возрастание амплитуды частоты, равной удвоенной основной. В отдельных случаях этот эффект становится настолько сильным, что практически наблюдается только удвоенная частота. Такая ситуация имеет место у полупроводниковых сплавов $\text{Bi}_{1-x} \text{Sb}_x$, легированных Te. Особенность отчетливо удвоение частоты проявляется при исследовании больших сечений электронных ПФ (рис. 3). Для углов $|\phi| > 20^\circ$ доминирует основная частота, для $|\phi| < 15^\circ$ наблюдается только удвоенная частота. При $|\phi| = 3,7^\circ$ (угол спинового дэмпфинга) появляется учетверенная основная частота (эффективная циклотронная масса при удвоении и учетверении частоты не меняется).

3. Отсутствие в осцилляциях дГВА подобных особенностей позволяет связать появление комбинационных частот и удвоение частоты с членом $\Delta\sigma_2$ в (1), аналога которого нет в выражении для $\partial M/\partial H$. Вклад $\Delta\sigma_2$, возрастающий с увеличением поля H , логарифмически расходится, если ширина уровня Ландау Γ стремится к нулю. В отличие от этого $\Delta\sigma_1$ для $\Gamma \rightarrow 0$ имеет конечную величину (этот результат является следствием интегрирования по энергии особенностей $n_1(\epsilon) \sim \frac{1}{\sqrt{\Gamma}}$ и $n_1^2(\epsilon) \sim \left(\frac{1}{\sqrt{\Gamma}}\right)^2$ для $\Delta\sigma_1$ и $\Delta\sigma_2$ соответственно).

Согласно (2), вклад от $\Delta\sigma_2$ преобладает в осцилляциях $\partial\rho/\partial H$ и $\partial Z/\partial H$, если амплитуда меняющейся с полем части плотности состояний $n_1(\epsilon)$ больше монотонного хода $n_o(\epsilon)$. В этом случае должна значительно возрасти амплитуда удвоенной частоты

$$\Delta\sigma_2 \sim n_1^2(\epsilon) \sim (\cos \omega t)^2 \sim \cos 2\omega t, t = 1/H. \quad (4)$$

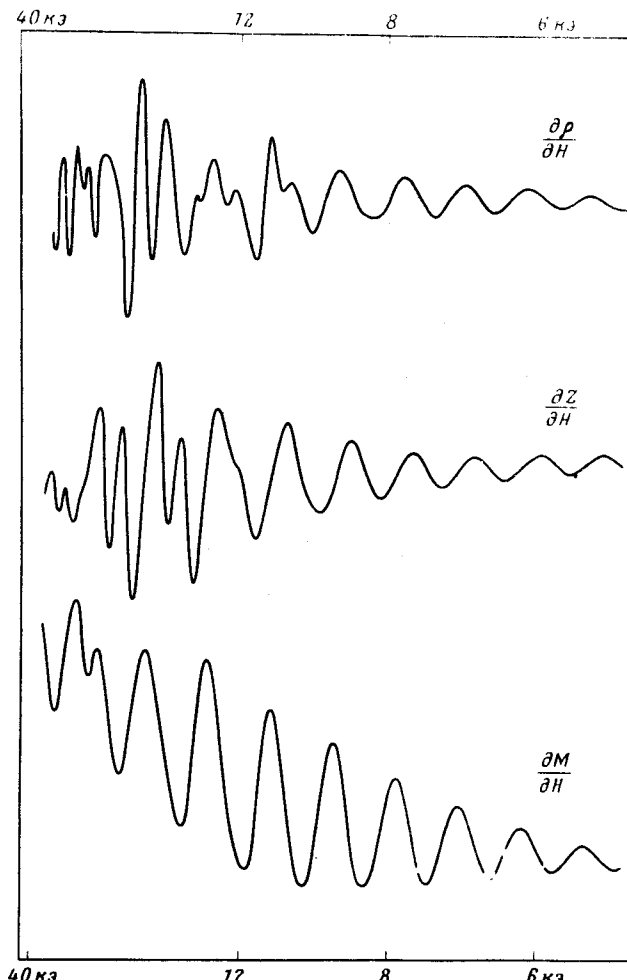


Рис. 1. Зависимости производных магнетосопротивления ($\partial\rho/\partial H$), поверхностного импеданса ($\partial Z/\partial H$) и магнитного момента ($\partial M/\partial H$) от обратного магнитного поля $1/H$ для сплава Bi-Te. Поле H направлено параллельно биссекторной оси

В легированных образцах возможен дополнительный механизм увеличения амплитуды осциллирующей части $n_1(\epsilon)$ плотности состояний. При низких температурах в легированных материалах основным механизмом рассеяния, определяющим время релаксации носителей τ , и, следовательно, ширину уровня Ландау $\Gamma \sim 1/\tau$, является рассеяние на ионизированных примесях. Эффективность этого рассеяния определяется радиусом r_o экранирования примесных центров:

$$r_o^2 = (4\pi e^2 (n_o(\epsilon) + n_1(\epsilon)))^{-1}, \quad (5)$$

где $n_o(\epsilon) + n_1(\epsilon)$ — общая плотность состояний на уровне Ферми. Согласно (5) осцилляции плотности состояний $n_1(\epsilon)$ вызывают осцилляции r_o с той же частотой. Осцилляции r_o приводят к осцилляциям τ и Γ . При

совпадении уровня Ландау с ϵ_F резко возрастает $n_1(\epsilon)$, r_0 согласно (5) уменьшается, τ растет и уменьшается ширина Γ уровней, что приводит к еще большему возрастанию $n_1(\epsilon)$ и т.д. При $T = 0$ и отсутствии других механизмов обрезания, кроме рассеяния на ионизованных примесях и при не слишком больших квантовых номерах N , уменьшение r_0 (а значит увеличение $n_1(\epsilon)$) будет иметь, на наш взгляд, резонансный характер.

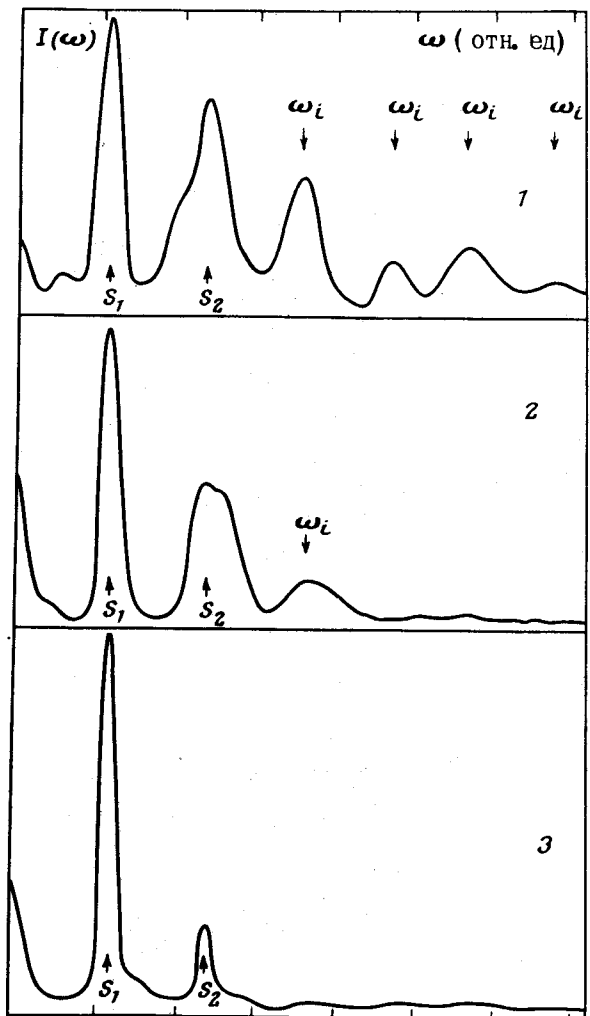


Рис. 2. Спектральный состав ($I(\omega)$) осцилляционных кривых, изображенных на рис. 1: 1 – $\partial p / \partial H$; 2 – $\partial Z / \partial H$; 3 – $\partial M / \partial H$

При наличии двух экстремальных сечений S_1 и S_2 осциллирующая часть плотности состояний $n_1(\epsilon)$ и время релаксации τ будут изменяться с частотами ω_1 и ω_2 , соответствующими сечениям S_1 и S_2 . В этом случае τ и $n_1^2(\epsilon)$ можно разложить по частотам ω_1 и ω_2 и их гармоникам

$$\tau = \sum_j a_j \cos j\omega_1 + \sum_i a_i \cos i\omega_2; \quad n_1^2(\epsilon) = \sum_k b_k \cos k\omega_1 + \sum_l b_l \cos l\omega_2. \quad (6)$$

Поэтому $\Delta\sigma_2 \sim \tau n_1^2(\epsilon)$ содержит комбинационные частоты вида $n\omega_1 + m\omega_2$ (n, m — целые).

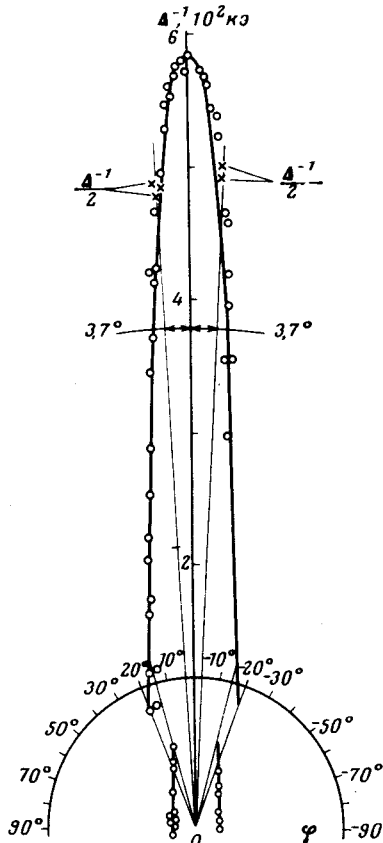


Рис. 8. Угловая зависимость частоты осцилляций ШдГ для сечений электронного эллипсоида у (Bi – Sb) + Te при ориентации поля в базисной плоскости

В осцилляциях дГвА, которые описываются выражением аналогичным члену $\Delta\sigma_1$ в (2), комбинационные частоты отсутствуют из-за более слабой зависимости $\Delta\sigma_1$ от ширины Г уровня Ландау. В слабых полях (рис. 1) в спектре осцилляции $\partial\rho/\partial H$, $\partial Z/\partial H$, $\partial M/\partial H$ комбинационные частоты также отсутствуют, так как отношение $n_1(\epsilon)/n_0(\epsilon)$ мало и согласно (5) малы осцилляции радиуса экранирования r_0 .

В заключение пользуемся возможностью выразить нашу искреннюю признательность С.Д.Бенеславскому, Я.Г.Пономареву и С.М.Чудинову за обсуждение результатов.

Московский
государственный университет
им. М.В.Ломоносова

Поступила в редакцию
15 июня 1977 г.
После переработки
10 августа 1977 г.

Литература

- [1] E.Adams, T.Holstein. J. Phys. Chem. Sol., 10, 254, 1959.
- [2] И.М.Лифшиц. ЖЭТФ, 3, 774, 1956.

[3] И.М.Лифшиц, А.М.Косевич. ЖЭТФ, 29, 730, 1955.

[4] Semiconductors and Semimetals. I, 1966, Chap. "Magnetic Quantum Effects" Edited by Willardson and Beer
